

مکانیک سیالات پیشرفته

فصل سوم

معادلات حرکت و معادله ناویر استوکس

۱. مقدمه.....	۲
۲. قانون دوم نیوتون و معادله حرکت لاغرانژی.....	۲
۳-۱. نیروی اینرسی، نیروهای سطحی و جسمی.....	۴
۳-۲. تنسور تنش و نیروهای سطحی.....	۵
۳. نیروهای سطحی بر حسب تنسور تنش.....	۱۰
۴. معادله حرکت مومنتوم.....	۱۱
۵. معادله ساختاری رئولوژیکی.....	۱۵
۶. معادله ناویر- استوکس.....	۱۹
۷. گردابش و سیال غیر چرخشی.....	۲۴
۸. خلاصه(جمع بندی).....	۲۶

۱. مقدمه

در فصل قبل به توصیف حرکت لاغرانژی و اویلری پرداخته شد و توضیح داده شد که با استفاده از نظریه انتقالی رینولدز می‌توان حرکت سیال را در چارچوب لاغرانژی به چارچوب اویلری تبدیل نمود. در این فصل با استفاده از قانون دوم حرکت نیوتن که در چارچوب لاغرانژی صادق است، و همچنین استفاده از نظریه انتقالی رینولدز، معادلات حرکت یا به عبارتی معادلات مومنتوم به دست آورده می‌شود. همچنین با استفاده از قانون ویسکوزیته نیوتن که در فصل اول به آن پرداخته شد، معادلات حرکت ناویر-استوکس را به دست خواهیم آورد.

۲. قانون دوم نیوتن و معادله حرکت لاغرانژی

در فصل دوم اشاره شد که قانون حرکت دوم نیوتن به صورت برداری و اندیسی به صورت‌های ذیل نوشته می‌شود:

$$\frac{d(m\vec{v})}{dt} = \vec{F} \quad (\text{نمایش برداری}) \quad (5-1)$$

$$\frac{d(mv_i)}{dt} = F_i \quad i = 1,2,3 \quad (\text{نمایش اندیسی}) \quad (5-2)$$

همان گونه که مشاهده می‌شود قانون دوم نیوتن نشان می‌دهد که:

نیروی کل اینرسی (لختی) = تغییرات در مومنتوم سیال

حال قانون حرکت دوم نیوتن در چارچوب لاغرانژی بر حسب انتگرال حجمی به صورت ذیل نوشته می‌شود:

$$\frac{d}{dt} \int_{V_{sys}(t)} \rho v_i dV = F_i \quad i = 1,2,3 \quad (5-3)$$

که در اینجا v_i مؤلفه‌های سرعت و $\rho(x_0, y_0, z_0, t)$ ، یعنی دانسیته سیال بر حسب مل / حجم می‌باشد. همان گونه

که معادله (۵-۳) نشان می‌دهد تغییرات کل زمانی مومنتوم سیستم لاغرانژی برابر با نیروی کل اینرسی سیال می‌باشد.

معادله (۵-۳) معادله حرکت سیال در چارچوب لاغرانژی است. پس همان طور که در فصل قبل توضیح داده شد بایستی با استفاده از تئوری انتقالی رینولدز توصیف حرکت سیال را در چارچوب لاغرانژی به چارچوب اویلری تبدیل نماییم.

بنابراین خواهیم داشت:

$$\frac{d}{dt} \int_{V_{sys(t)}} \rho v_i dV = \int_{V_c} \left[\frac{\partial(\rho v_i)}{\partial t} + \frac{\partial}{\partial x_j} (\rho v_i v_j) \right] dV = F_i \quad (5-4)$$

در اینجا ρv_i مومنتوم خطی بر واحد حجم سیال است. باید توجه داشت که معادله (5-4) تئوری انتقال رینولدز به شکل

اندیسی می‌باشد. شکل برداری معادله مذکور به صورت ذیل نوشته می‌شود:

$$\frac{d}{dt} \int_{V_{sys(t)}} \rho \vec{v} dV = \int_{V_c} \left[\frac{\partial(\rho \vec{v})}{\partial t} + \nabla \cdot (\rho \vec{v} \vec{v}) \right] dV = \vec{F} \quad (5-5)$$

بنابراین عبارت طرف چپ معادله بالا، معادله حرکت کل مومنتوم سیال را در چارچوب لاغرانژی و عبارت انتگرال دوم،

طرف راست معادله، حرکت مومنتوم را در چارچوب اویلری نشان می‌دهد. باید توجه داشت که شار مومنتوم^۱ به صورت

$\rho \vec{v} \vec{v}$ یا $\rho v_i v_j$ نشان داده می‌شود. همان‌طور که دیده می‌شود شار مومنتوم حاصل ضرب دیادیک دو بردار سرعت بوده

که در حقیقت یک کمیت تنسوری می‌باشد.

برای ادامه کار از معادله اندیسی حرکت یعنی معادله (5-4) استفاده می‌کنیم. عبارت‌های داخل انتگرال دوم که در حجم

کنترل نوشته شده به صورت ذیل مشتق گیری می‌شود:

$$\frac{\partial(\rho v_i)}{\partial t} + \frac{\partial}{\partial x_j} (\rho v_i v_j) = \rho \frac{\partial v_i}{\partial t} + v_i \frac{\partial \rho}{\partial t} + v_i \frac{\partial(\rho v_j)}{\partial x_j} + \rho v_j \frac{\partial v_i}{\partial x_j} \quad (5-6)$$

در اینجا عبارت‌های دوم و سوم در طرف راست معادله (6-4) به صورت ذیل ساده می‌شوند:

$$v_i \frac{\partial \rho}{\partial t} + v_i \frac{\partial(\rho v_j)}{\partial x_j} = v_i \left[\frac{\partial \rho}{\partial t} + \frac{\partial(\rho v_j)}{\partial x_j} \right] = 0 \quad (5-7)$$

ملاحظه می‌شود که حاصل ساده سازی عبارت‌های ۲ و ۳ معادله پیوستگی بوده که برابر صفر می‌گردد. حال عبارت‌های

۱ و ۴ به صورت ذیل ساده می‌گردد:

$$\rho \frac{\partial v_i}{\partial t} + \rho v_j \frac{\partial v_i}{\partial x_j} = \rho \frac{D v_i}{D t} \quad (5-8)$$

¹Momentum Flux

به عبارت دیگر حاصل ساده عبارت‌های ۱ و ۴ به صورت مشتق زمانی ماده سرعت^۲ به دست می‌آید. پس از ساده سازی‌های مذکور معادله حرکت مومنتوم یعنی معادله (۴-۵) به صورت ذیل نشان داده می‌شود:

$$\frac{d}{dt} \int_{V_{sys}(t)} \rho v_i dV = \int_{V_c} \rho \frac{Dv_i}{Dt} dV = F_i \quad (5-9)$$

۱-۲. نیروی اینرسی، نیروهای سطحی^۳ و جسمی^۴

نیروهای دینامیکی^۵ در حرکت سیال شامل دو نیروی جسمی و سطحی به صورت ذیل می‌باشد:

$$\vec{F} = \vec{F}_b + \vec{F}_s \quad \text{یا} \quad (5-10)$$

$$\vec{F}_k = \vec{F}_{k,b} + \vec{F}_{k,s} \quad ; k = 1, 2, 3$$

که در اینجا معمولاً \vec{F}_b را نیروی جرمی و \vec{F}_s را نیروی سطحی می‌نامند.

نیروهای جسمی در حقیقت آن دسته از نیروهایی است که ناشی از اعمال میدان گرانشی^۶ یا میدان مغناطیسی^۷ ثقل زمین بر جرم سیال می‌باشد. پس نیروهای جسمی از دو نوع نیروهای گرانشی^۸ و نیروهای مغناطیسی^۹ تشکیل شده است. در بسیاری از مواقع در حرکت سیال از نیروهای مغناطیسی صرفنظر می‌شود، مگر در موارد خاص که در اینجا مورد بحث قرار نمی‌گیرد. بنابراین نیروهای جسمی در اینجا فقط به صورت نیروهای گرانشی ارائه خواهد شد. یعنی خواهیم داشت:

$$\vec{F}_b \equiv \text{نیروی گرانشی} \quad (5-11)$$

حال به آنالیز نیروی گرانشی در چارچوب اویلری می‌پردازیم. تغییرات نیروی گرانشی ناشی از فاصله گرفتن جرم سیال از سطح زمین می‌باشد. به عبارتی طبق قوانین حرکت دینامیک نیروی گرانشی بر واحد حجم از طریق گرادیان انرژی پتانسیلی به دست می‌آید. بنابراین خواهیم داشت:

²Material Derivative

³Surface Force

⁴Body Force

⁵Dynamic Force

⁶Gravitation

⁷Magnetic

⁸Gravitational Force

⁹Magnetic Force

$$\vec{F}_b = -\nabla E_p = -\nabla(\rho gh) \quad (5-12)$$

که در این رابطه:

$E_p = \rho gh$: انرژی پتانسیل بر حجم واحد

g : شتاب ثقل^{۱۰}

h : ارتفاع از سطح زمین

پس نیروی گرانشی کل سیستم به صورت ذیل به دست می‌آید:

$$\vec{F}_b = \int_{V_c} \vec{F}_b dV = - \int_{V_c} \rho g \nabla h dV \quad (5-13)$$

در اینجا ملاحظه می‌شود که نیروی گرانشی یک کمیت برداری است که بر حسب گرادیان فاصله از سطح زمین (کمیت برداری) به دست می‌آید.

۲-۲. تنسور تنش و نیروهای سطحی

نیروهای سطحی ناشی از اصطکاک لایه‌های سیال می‌باشد که شامل دو بخش است: نیروهای ویسکوز^{۱۱} و نیروهای فشاری^{۱۲}. به عبارتی منشأ نیروهای سطحی از تنش‌های عمودی و برشی در اثر تغییر شکل^{۱۳} دائمی سیال می‌باشد. اگر سیالی در حالت سکون یا ایستا باشد نیروهای ناشی از تنش ناپدید شده و تنها نیروی حاکم بر سیال در حالت سکون نیروهای ناشی از فشار استاتیکی سیال می‌باشد.

برای به دست آوردن نیروهای سطحی، ابتدا لازم است که به تنش‌ها^{۱۴} در حرکت سیال پرداخته شود. همان‌گونه که در فصل اول توضیح داده شد، سیالی که تحت نیروی دینامیکی قرار گیرد تغییر شکل می‌دهد و تا آنجایی که اعمال نیروی دینامیکی ادامه پیدا کند، تغییر شکل سیال پیوسته خواهد بود. تغییر شکل به عبارتی مقاومت سیال در برابر نیروهای

¹⁰Gravitational Acceleration

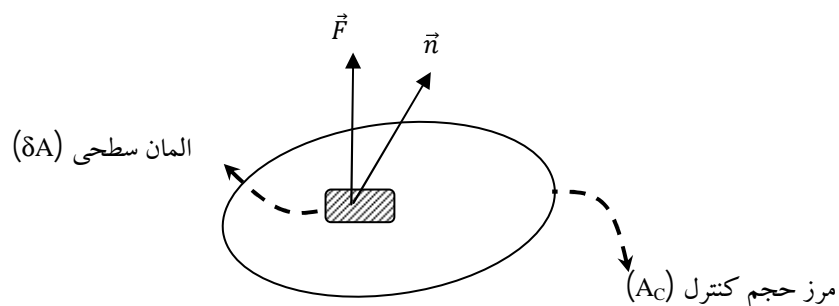
¹¹Viscose

¹²Pressure

¹³Deformation

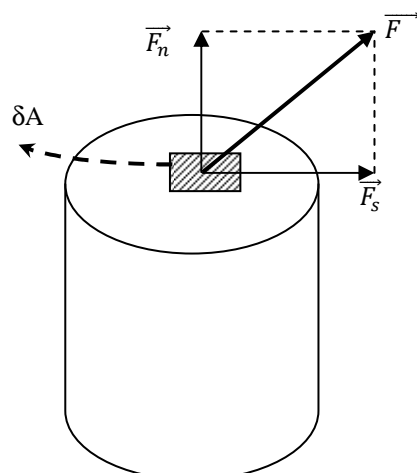
¹⁴Stress

دینامیکی ناشی از نیروهای سطحی مابین لایه‌های سیال می‌باشد. اثرات نیروهای سطحی بر سطوح سیال یا مرزهای جامد به صورت تنش‌های برشی و عمودی نشان داده می‌شوند. یک المان سطحی از سیال را در نظر بگیرید، (شکل (۱-۴)):



شکل ۱-۵: نیروهای سطحی در حجم کنترل

همان‌گونه که در شکل (۱-۵) مشاهده می‌شود، \vec{F} بردار نیروهای سطحی بر واحد حجم بوده که در المان سطحی (δA) عمل می‌نماید و $\vec{\Pi}$ بردار واحد خروجی از المان سطحی می‌باشد.



شکل ۲-۵: تجزیه برداری نیروی سطحی به دو بردار عمودی و برشی

حال اگر بردار نیروی سطحی را مطابق شکل (۲-۵) به دو نیروی عمودی و برشی تجزیه نماییم، به طوری که \vec{F}_s نیروی برشی سطحی و \vec{F}_n نیروی عمودی سطحی باشد می‌توان تنش‌های برشی^{۱۵} و عمودی^{۱۶} را به صورت ذیل تعریف کرد:

¹⁵Shear Stress

¹⁶Normal Stress

$$\lim_{\delta A \rightarrow 0} \frac{|F_s|}{\delta A} \quad \text{تنش برشی:}$$

$$\lim_{\delta A \rightarrow 0} \frac{|F_n|}{\delta A} \quad \text{تنش عمودی:}$$

ملاحظه می‌شود که تنش‌های عمودی و برشی در یک نقطه تعریف شده‌اند. البته از یک نقطه بی‌نهایت صفحه عبور می-

نماید که هر صفحه با بردار واحد خروجی آن توصیف می‌گردد. پس به طور کلی می‌توان تنش در یک نقطه را به شکل

ذیل نشان داد:

$$\lim_{\delta A \rightarrow 0} \left\{ \frac{\vec{F}}{\delta A} \right\} = \vec{A}^{(\vec{n})} \quad (5-14)$$

معادله (5-14) نمایش بردار تنش می‌باشد، لیکن این معادله مستقیماً قابل استفاده نمی‌باشد، زیرا در یک نقطه بی‌نهایت

بردار واحد \vec{n} داریم. در حقیقت از یک نقطه بی‌نهایت صفحه عبور می‌نماید. در اینجا برای عملی کردن محاسبه تنش

فقط سه صفحه عمود بر هم را در سیستم دکارتی مورد بررسی قرار می‌دهیم. بنابراین بردار تنش یعنی معادله (5-14) به

صورت ذیل نوشه می‌شود:

$$\frac{\vec{e}_j}{t_i} = n_i \frac{\vec{e}_j}{t_i} \quad (5-15)$$

معادله (5-15) بردار تنش را در یک نقطه در توده سیال و بر حسب مؤلفه‌های تنش در دستگاه مختصات نشان می‌دهد.

شکل معادله (5-15) برای نمایش تنش مناسب نیست، لذا تنش را به صورت ذیل نمایش می‌دهیم:

$$\frac{\vec{e}_j}{t_i} \equiv \sigma_{ij} \quad (\text{نمایش تنش}) \quad (5-16)$$

جهت بردار واحد در دستگاه مختصات که بر المان سطح عمود می‌باشد $i :$

$j :$ جهت نیروی وارد بر المان سطح در دستگاه مختصات

در قسمت‌های بعدی نشان خواهیم داد که معادله (5-16) یک تنسور درجه دوم است. پس معادله (4-15) برای بردار

تنش سطحی¹⁷ با بردار واحد خروجی به صورت ذیل نوشه می‌شود:

¹⁷Surface Stress Tensor

$$t_i^{(\vec{n})} = n_1 \sigma_{1i} + n_2 \sigma_{2i} + n_3 \sigma_{3i} \quad i=1,2,3 \quad (5-17)$$

که n_1, n_2, n_3 مؤلفه‌های بردار واحد می‌باشند. معادله (5-17) نشان می‌دهد که در هر نقطه در سیال سه مؤلفه نیروهای

سطحی به صورت $t_1^{(n)}, t_2^{(n)}$ و $t_3^{(n)}$ وجود دارد که هر کدام از این نیروهای سطحی بر حسب سه مؤلفه تنش نوشته

می‌شوند. از طرفی ملاحظه می‌شود که دو تا از مؤلفه‌های سطحی، برشی بوده و سومی عمودی می‌باشد. بنابراین

مجموعه مؤلفه‌های نیروهای سطحی بر حسب نه مؤلفه تنش به دست می‌آیند. مجموعه نه مؤلفه تنش یک آرایه می‌سازد

که به این آرایه تنسور تنش گفته می‌شود. پس تنصور تنش را می‌توان به صورت ذیل نمایش داد:

$$\underline{\sigma} = \sigma_{ij} = \begin{pmatrix} \sigma_{11} & \sigma_{12} & \sigma_{13} \\ \sigma_{21} & \sigma_{22} & \sigma_{23} \\ \sigma_{31} & \sigma_{32} & \sigma_{33} \end{pmatrix} \quad (5-18)$$

برای فهمیدن اهمیت فیزیکی نه مؤلفه تنش از تنصور تنش مطابق شکل (5-۳) سه صفحه عمود بر هم در نقطه 0 را

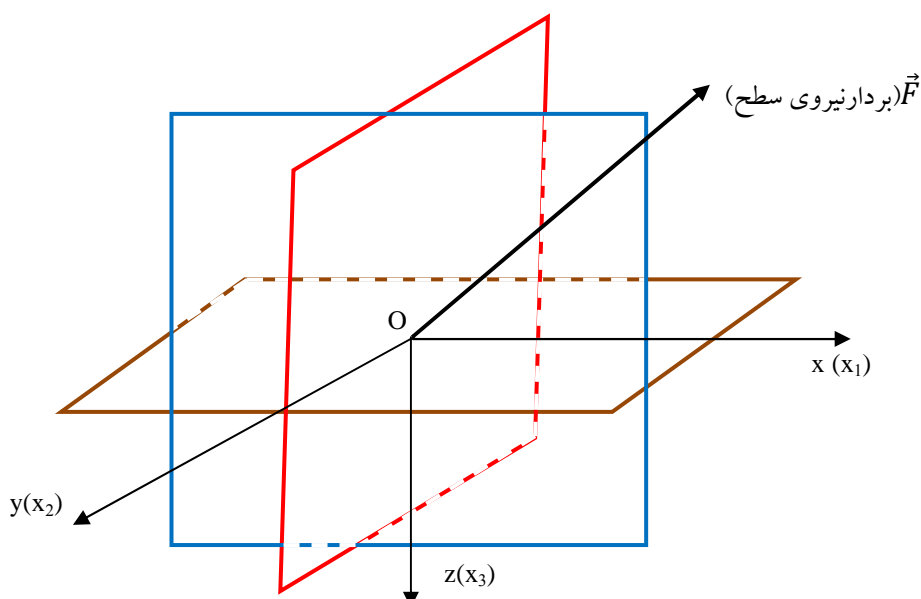
ملاحظه نمایید. حال اگر مؤلفه‌های بردار نیروی سطحی \vec{F} را به صورت F_1, F_2 و F_3 نشان دهیم، مؤلفه‌های تنش هر

کدام از نیروها در سه صفحه عمود بر هم به صورت ذیل نوشته می‌شود:

$$F_1: \sigma_{11}, \sigma_{21}, \sigma_{31}$$

$$F_2: \sigma_{21}, \sigma_{22}, \sigma_{23}$$

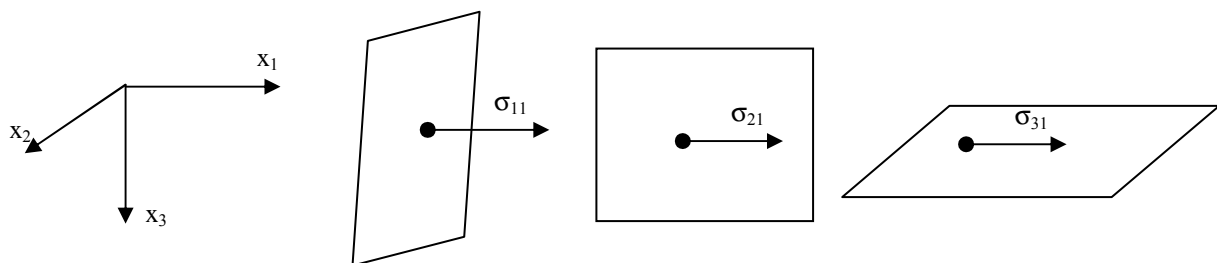
$$F_3: \sigma_{31}, \sigma_{32}, \sigma_{33}$$



شکل ۳-۵: توصیف نیروهای سطحی در نقطه 0 در سه صفحه عمود بر هم

بنابراین به عنوان مثال مؤلفه نیروی سطحی F_1 که در جهت \mathbf{x} عمل می‌نماید از سه تنش به صورت ذیل (شکل ۵-۴) است:

ناشی می‌شود:

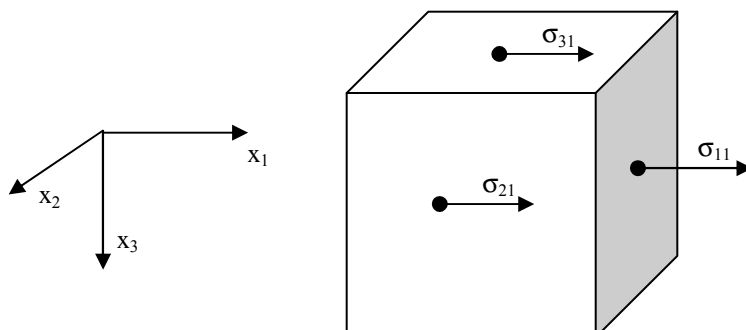


شکل ۵-۴: مؤلفه های تنش بردار نیرو در جهت \mathbf{x}

به همین ترتیب مؤلفه های تنش ها برای مؤلفه های نیروهای سطحی F_2 و F_3 را نیز می‌توان مطابق شکل (۵-۴) توصیف نمود.

معمولًا برای نمایش تنسور تنش از یک المان مکعبی مطابق شکل (۵-۵) استفاده می‌شود. برای نمونه مؤلفه های تنش در جهت نیروی \mathbf{x} در این شکل نشان داده شده است.

به همین ترتیب می‌توان مؤلفه های تنش را در جهت های دیگر دستگاه مختصات نشان داد. از طرف دیگر با استفاده از اصل بقای مومنتوم زاویه ای^{۱۸} می‌توان نتیجه گرفت که تنسور تنش متقارن است. پس می‌توان نوشت:

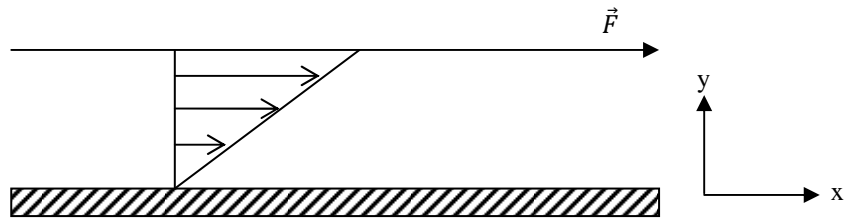


شکل ۵-۵: المان مکعبی برای نمایش مؤلفه های تنش در جهت \mathbf{x}_1

$$\sigma_{ij} = \sigma_{ji} \quad (5-19)$$

برای روشن شدن تنسور تنش مثال حرکت برشی ساده را مطابق شکل (۵-۶) در نظر بگیرید:

¹⁸Angular Momentum



شکل ۵-۶: حرکت برشی ساده

ملاحظه می‌شود که تنها تنش برشی در این حرکت سیال به صورت ذیل نوشته می‌شود:

$$\sigma = \sigma_{21} = \sigma_{12} = \frac{F_x}{A} \quad (5-20)$$

که F_x مؤلفه نیروی برشی یعنی $\vec{F} = F_x$ می‌باشد و A مساحت سطح تماس با سیال می‌باشد. سایر مؤلفه‌های تنسور تنش صفر خواهد بود. یعنی:

$$\sigma_{13} = \sigma_{31} = \sigma_{23} = \sigma_{32} = 0 \quad (5-21)$$

بنابراین، تنسور تنش کل در یک جریان برشی به صورت ذیل نوشته می‌شود:

$$\sigma_{ij} = \begin{pmatrix} \sigma_{11} & \sigma & 0 \\ \sigma & \sigma_{22} & 0 \\ 0 & 0 & \sigma_{33} \end{pmatrix} \quad (5-22)$$

۳. نیروهای سطحی بر حسب تنسور تنش

با استفاده از معادله (۱۵-۵) ملاحظه می‌گردد که نیروهای سطحی بر واحد سطح به صورت $\vec{t}^{(\vec{n})}$ نشان داده می‌شود.

بنابراین کل نیروهای سطحی برای حجم کنترل به صورت ذیل نوشته می‌شود:

$$\vec{F}_s = \int_{A_c} \vec{t}^{(\vec{n})} dA \quad (5-23)$$

که A_c مساحت حجم کنترل می‌باشد و $\vec{t}^{(\vec{n})}$ بستگی به جهت بردار واحد عمودی \vec{n} دارد. از طرفی در معادله (۱۵-۵)

نیروهای سطحی بر حسب جهت بردارهای واحد در دستگاه دکارتی نوشته شد و نشان داده شد که:

$$\vec{t}_k^{(\vec{n})} = n_i \sigma_{ik} = \vec{\sigma} \cdot \vec{n} \quad (5-24)$$

که در معادله (۵-۲۴) نیروهای کل سطحی بر حسب ضرب بردار واحد \vec{n} در تنسور تنش نوشته شده است. بنابراین معادله

(۵-۲۳) با استفاده از معادله (۵-۲۴) به صورت ذیل نوشته می‌شود:

$$\vec{F}_s = \int_{A_c} (\vec{\sigma} \cdot \vec{n}) dA \quad (5-25)$$

حال با استفاده از قضیه دیورژانس گوس انتگرال سطحی را به انتگرال حجمی تبدیل نموده، خواهیم داشت:

$$\vec{F}_s = \int_{A_c} (\vec{\sigma} \cdot \vec{n}) dA = \int_{V_c} (\nabla \cdot \underline{\sigma}) dV \quad (5-26)$$

۴. معادله حرکت مومنتوم^{۱۹}

در بخش قبل معادله حرکت لاغرانژی سیال و تجزیه نیروهای دینامیکی حاکم بر حرکت سیال مورد بررسی قرار

گرفت. بنابراین از ترکیب معادلات (۵-۹) و (۵-۱۰) معادله حرکت به صورت ذیل نوشته می‌شود:

$$\int_{V_c} \rho \frac{Dv_i}{Dt} dV = F_{i,b} + F_{i,s} \quad (5-27)$$

شكل برداری این معادله به صورت ذیل است:

$$\int_{V_c} \rho \frac{D\vec{v}}{Dt} dV = \vec{F}_b + \vec{F}_s \quad (5-28)$$

با جاگذاری برای نیروهای جرمی و سطحی از معادلات (۵-۱۳) و (۵-۲۶) در معادله (۵-۲۸) خواهیم داشت:

$$\int_{V_c} \rho \frac{D\vec{v}}{Dt} dV = - \int_{V_c} \rho g \nabla h dV + \int_{V_c} (\nabla \cdot \underline{\sigma}) dV \quad (5-29)$$

با جابجایی عبارت‌های طرف راست به طرف چپ و با توجه به این که حد انتگرال (V_C) مقدار معینی می‌باشد، می‌توان

معادله ذیل را از معادله (۵-۲۹) بدست آورد:

$$\rho \frac{D\vec{v}}{Dt} = - \rho g \nabla h + \nabla \cdot \underline{\sigma} \quad (5-30)$$

شكل اندیسی معادله (۵-۳۰) به صورت ذیل نوشته می‌شود:

$$\rho \frac{Dv_i}{Dt} = - \rho g \frac{\partial h}{\partial x_i} + \frac{\partial}{\partial x_j} (\sigma_{ji}) \quad (5-31)$$

¹⁹Momentum Equation

به معادلات (۵-۳۰) و (۵-۳۱) معادله حرکت کوشی^{۲۰} گفته می‌شود.

همان‌گونه که ملاحظه می‌شود با سه مؤلفه سرعت، سه معادله حرکت خواهیم داشت. به عبارتی در اینجا تعداد مجھولات به صورت سه مؤلفه سرعت (v_x, v_y, v_z) و نه مؤلفه تنسور تنش است و مجموعاً دوازده مجھول خواهیم داشت.

لیکن تعداد معادلات عبارت خواهد بود از سه معادله حرکت و یک معادله پیوستگی که مجموعاً چهار معادله موجود می‌باشد. بنابراین در این حالت حل سیستم با توجه به عدم برابری تعداد مجھولات و معادلات غیر ممکن می‌باشد. پس تنها روش حل این مسئله بیان کردن مؤلفه‌های تنسور تنش بر حسب مؤلفه‌های سرعت می‌باشد. قبل از پرداختن به این موضوع لازم است تنسور تنش را مورد بررسی قرار داده و ماهیت آن را بشناسیم.

ابتدا به حالت پرداخته می‌شود که سیال در حالت سکون بوده، به طوری که تحت هیچ‌گونه تنش برشی و یا تغییر شکل قرار نداشته باشد. می‌توان تنسور تنش را برای سیال ایستایی^{۲۱} به صورت ذیل نوشت:

$$\sigma_{ij} = \begin{pmatrix} -P & 0 & 0 \\ 0 & -P & 0 \\ 0 & 0 & -P \end{pmatrix} \quad (5-32)$$

ملاحظه می‌شود که در سیال ایستایی تنها مؤلفه‌های عمودی یا قطری تنسور تنش خودش را به صورت فشار ایزوتروپیک نشان می‌دهد. علامت منفی برای مثبت کردن فشار از نوع کمپرسی بوده که علامتش منفی است. حال سیالی را در نظر بگیرید که درابتدا در حالت ایستا بوده و تحت نیروی دینامیکی قرار بگیرد. در این حالت نیروهای دینامیکی باعث تغییر شکل سیال شده و به صورت تنش برشی بر فشار استاتیکی سیال اضافه می‌شوند. به طوری که تنسور

تنش کل برای حرکت سیال به صورت برداری به شکل ذیل نوشه می‌شود:

$$\underline{\sigma} = \underline{\tau} - P\underline{I} \quad (5-33)$$

تنسور تنش کل^{۲۲}:

²⁰Cauchy

²¹Static Fluid

²²Total Stress Tensor

$\underline{\tau}$: تنسور تنش ویسکوز^{۲۳}

\underline{I} : تنسور واحد^{۲۴}

تنسور تنش کل یعنی معادله (۵-۳۳) باز شده، به صورت ذیل نوشه می‌شود:

$$\sigma_{ij} = -P\delta_{ij} + \tau_{ij} = \begin{pmatrix} -P + \tau_{11} & \tau_{12} & \tau_{13} \\ \tau_{21} & -P + \tau_{22} & \tau_{23} \\ \tau_{31} & \tau_{32} & -P + \tau_{33} \end{pmatrix} \quad (5-34)$$

که در معادله (۵-۳۴) δ_{ij} دلتای کرونکر^{۲۵} گفته می‌شود که به صورت ذیل تعریف شده است:

$$\delta_{ij} = \begin{cases} 1 & i = j \\ 0 & i \neq j \end{cases} \quad (5-35)$$

تنسور تنش ویسکوز، $\underline{\tau}$ ، به عنوان تنسور تنش اضافی^{۲۶} یا تنسور تنش دیادیک^{۲۷} نیز اطلاق می‌شود. پس در حالتی که

$\underline{\tau} = 0$ باشد، سیال در حالت ایستا بوده و فقط فشار استاتیکی بر آن حاکم خواهد بود. حال با جاگذاری معادله (۵-۳۳)

در معادله حرکت (۵-۳۰)، معادله حرکت به صورت ذیل در می‌آید:

$$\rho \frac{D\vec{V}}{Dt} = -\rho g \nabla h - \nabla P + \nabla \cdot \underline{\tau} \quad (5-36)$$

معادله (۵-۳۶) معادله حرکت و یا معادله مومنتوم سیالات نامیده می‌شود، که به صورت سه معادله در دستگاه مختصات

دکارتی نشان داده می‌شود:

$$\rho \frac{Dv_x}{Dt} = -\rho g \frac{\partial h}{\partial x} - \frac{\partial P}{\partial x} + \frac{\partial \tau_{xx}}{\partial x} + \frac{\partial \tau_{xy}}{\partial x} + \frac{\partial \tau_{xz}}{\partial x} \quad (5-37)$$

$$\rho \frac{Dv_y}{Dt} = -\rho g \frac{\partial h}{\partial y} - \frac{\partial P}{\partial y} + \frac{\partial \tau_{yx}}{\partial y} + \frac{\partial \tau_{yy}}{\partial y} + \frac{\partial \tau_{yz}}{\partial y} \quad (5-38)$$

$$\rho \frac{Dv_z}{Dt} = -\rho g \frac{\partial h}{\partial z} - \frac{\partial P}{\partial z} + \frac{\partial \tau_{zx}}{\partial z} + \frac{\partial \tau_{zy}}{\partial z} + \frac{\partial \tau_{zz}}{\partial z} \quad (5-39)$$

این معادلات نشان می‌دهد که تعداد متغیرهای سرعت سه بوده و تعداد متغیرهای تنسور تنش ویسکوز، نه می‌باشد که به

صورت ذیل نشان داده می‌شود:

²³Viscose Stress Tensor

²⁴Unit Tensor

²⁵Kronecker Delta

²⁶Exteral Stress

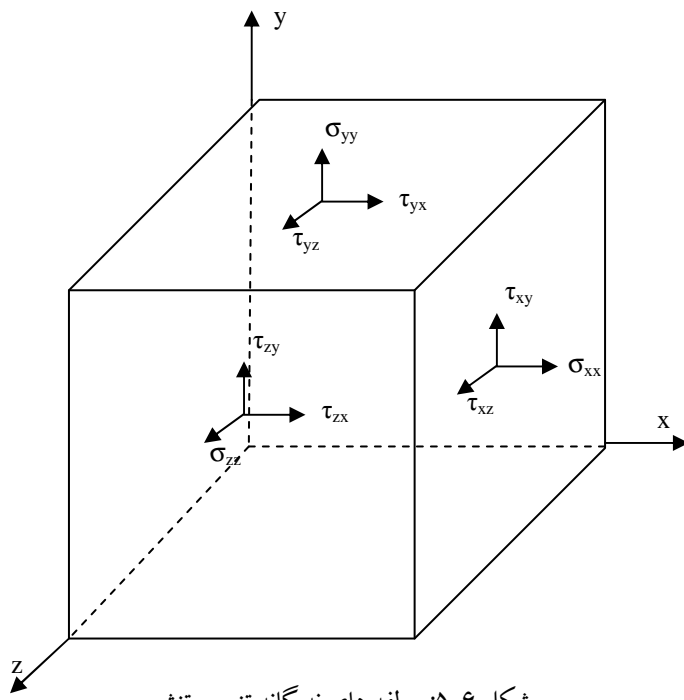
²⁷Dyadic Stress Tensor

$$\underline{\tau} = \begin{pmatrix} \tau_{xx} & \tau_{xy} & \tau_{xz} \\ \tau_{yx} & \tau_{yy} & \tau_{yz} \\ \tau_{zx} & \tau_{zy} & \tau_{zz} \end{pmatrix} \quad (5-40)$$

نه تنسور تنש کل در شکل (5-۶) نشان داده شده است. از طرفی قبل نشان داده شد که مشتق ماده برای سرعت در

سیالات غیر قابل تراکم به صورت ذیل نوشتہ می شود:

$$\rho \frac{D\vec{v}}{Dt} = \frac{D(\rho\vec{v})}{Dt} = \frac{\partial(\rho\vec{v})}{\partial t} + \vec{v} \cdot \nabla(\rho\vec{v}) \quad (5-41)$$



شکل ۶: مولفه های نه گانه تنسور تنش

با جابجایی مناسب عبارت دوم در سمت راست معادله (5-۴۱) و جاگذاری آن در معادله (5-۳۶) "معادله حرکت" به

صورت ذیل نوشتہ می شود:

$$\underbrace{\frac{\partial}{\partial t} \rho\vec{v}}_1 = \underbrace{-\rho g \nabla h}_2 - \underbrace{\nabla P}_3 - \underbrace{\nabla \cdot \rho\vec{v}\vec{v}}_4 + \underbrace{\nabla \cdot \tau}_5 \quad (5-42)$$

که ترم های موجود در این معادله عبارتند از:

- 1: نرخ افزایش مومنتوم در حجم کنترل بر واحد حجم
- 2: نیروی گرانشی سیال در حجم کنترل بر واحد حجم

- 3: نیروی فشار دینامیکی سیال بر واحد حجم
- 4: شار نرخ افزایش مومنتوم با جابجایی کل جریان در عبور از سطح بر واحد حجم
- 5: نیروی ویسکوز سیال یا نرخ افزایش مومنتوم با حرکت نفوذی مولکول ها

۵. معادله ساختاری رئولوژیکی^{۲۸}

در قسمت قبل اشاره شد که تعداد مجھولات در معادله حرکت بیشتر از تعداد معادلات حرکت و پیوستگی است. بنابراین لازم است که مولفه های تنسور تنش ویسکوز بر حسب مولفه های سرعت نوشته شود. در این حالت لازم است توضیح داده شود که تنش ویسکوز چگونه با نفوذ مولکولی که ناشی از تغییرات سرعت در لایه های سیال است ارتباط دارد. به طور کلی سیالی که تحت نیروی دینامیکی قرار گیرد به سه صورت در سیال حرکت ایجاد می کند که عبارتند از:

۱- حرکت جابجایی، ۲- حرکت چرخشی، ۳- حرکت تغییر شکلی.

حال سؤالی که مطرح می شود این است که تنش های ویسکوز به کدام گونه از حرکت های مذکور تعلق دارد؟ تغییرات در حرکت سیال را با گرادیان بردار سرعت ($\vec{\nabla}V$) توصیف می کنیم. اگر گرادیان بردار سرعت را به صورت ذیل تجزیه نماییم خواهیم داشت:

$$\vec{\nabla}V = \frac{1}{2}(\vec{\nabla}V + \vec{\nabla}V^T) + \frac{1}{2}(\vec{\nabla}V - \vec{\nabla}V^T) \quad (5-43)$$

باید توجه داشت که $\vec{\nabla}V^T$ ترانهاده $\vec{\nabla}V$ می باشد. همچنین معادله (۵-۴۳) به صورت اندیسی به صورت ذیل نوشته می -

شود:

$$\frac{\partial V_i}{\partial x_j} = \frac{1}{2}\left(\frac{\partial V_i}{\partial x_j} + \frac{\partial V_j}{\partial x_i}\right) + \frac{1}{2}\left(\frac{\partial V_i}{\partial x_j} - \frac{\partial V_j}{\partial x_i}\right) \quad (5-44)$$

ملاحظه می گردد که $\vec{\nabla}V$ و $\vec{\nabla}V^T$ هر کدام یک تنسور درجه دو می باشند. حال دو تنسور در معادله (۵-۴۴) به صورت

ذیل تعریف می گردد:

²⁸Rheological Constitutive Equation

$$\Delta_{ij} = \frac{\partial v_i}{\partial x_j} + \frac{\partial v_j}{\partial x_i} \quad (5-45)$$

$$\Omega_{ij} = \frac{\partial v_i}{\partial x_j} - \frac{\partial v_j}{\partial x_i} \quad (5-46)$$

Ω_{ij} :^{۲۹} تنسور تغییر شکل^{۳۰} ; Δ_{ij} :^{۳۱} تنسور چرخشی

در اینجا مؤلفه‌های تنسور تغییر شکل یا تنسور نرخ کرنش به صورت ذیل نشان داده می‌شود:

$$\Delta_{ij} = \begin{pmatrix} 2 \frac{\partial v_x}{\partial x} & \frac{\partial v_x}{\partial y} + \frac{\partial v_y}{\partial x} & \frac{\partial v_x}{\partial z} + \frac{\partial v_z}{\partial x} \\ \frac{\partial v_y}{\partial x} + \frac{\partial v_x}{\partial y} & 2 \frac{\partial v_y}{\partial y} & \frac{\partial v_y}{\partial z} + \frac{\partial v_z}{\partial y} \\ \frac{\partial v_z}{\partial x} + \frac{\partial v_x}{\partial z} & \frac{\partial v_z}{\partial y} + \frac{\partial v_y}{\partial z} & 2 \frac{\partial v_z}{\partial z} \end{pmatrix} \quad (5-47)$$

ملاحظه می‌شود که تنسور نرخ کرنش یک تنسور متقارن می‌باشد. تنسور چرخشی نیز به صورت ذیل نشان داده می‌شود:

$$\Omega_{ij} = \begin{pmatrix} 0 & \frac{\partial v_x}{\partial y} - \frac{\partial v_y}{\partial x} & \frac{\partial v_x}{\partial z} - \frac{\partial v_z}{\partial x} \\ \frac{\partial v_y}{\partial x} - \frac{\partial v_x}{\partial y} & 0 & \frac{\partial v_y}{\partial z} - \frac{\partial v_z}{\partial y} \\ \frac{\partial v_z}{\partial x} - \frac{\partial v_x}{\partial z} & \frac{\partial v_z}{\partial y} - \frac{\partial v_y}{\partial z} & 0 \end{pmatrix} \quad (5-48)$$

ملاحظه می‌شود که تنسور چرخشی یک تنسور غیر متقارن است.

حال به رابطه ما بین تنسور تنش ویسکوز و تنسور تغییر شکل (نرخ کرنش) می‌پردازیم. به چنین رابطه‌ای معادله ساختاری

رئولوژیکی گفته می‌شود و به صورت ذیل نوشه می‌شود:

$$\underline{\tau}(t) = \underline{F}[\underline{\Delta}(t)] \quad (5-49)$$

به چنین رابطه‌ای تابع تنسوری^{۳۲} گفته می‌شود. در این حالت اگر $\underline{\Delta} = 0$ باشد، $\underline{\tau} = 0$ خواهد بود. معادله (5-49) بیان

می‌نماید که معادله ساختاری به نوع سیال بستگی دارد. از طرفی سیالات دارای بازه وسیعی می‌باشند. در یک دسته بندی

²⁹Rotation Tensor

³⁰Rate of Deformation Tensor

³¹Functional

گروهی از سیالات نیوتینی^{۳۲} و گروهی دیگر غیر نیوتینی^{۳۳} می باشند. معادله ساختاری برای سیالات نیوتینی به صورت ذیل

نوشته می شود:

$$\tau_{ij} = \mu \left(\frac{\partial v_i}{\partial x_j} + \frac{\partial v_j}{\partial x_i} \right) \quad (5-50)$$

که μ ویسکوزیته (گرانروی) نیوتینی است که برای سیالات نیوتینی تابعی از دما و فشار می باشد. بنابراین مؤلفه های تنسور

تنش ویسکوز در حالت های برشی را می توان به صورت ذیل نوشت:

$$\begin{aligned} \tau_{xy} &= \tau_{yx} = \mu \left(\frac{\partial v_x}{\partial y} + \frac{\partial v_y}{\partial x} \right) \\ \tau_{yz} &= \tau_{zy} = \mu \left(\frac{\partial v_y}{\partial z} + \frac{\partial v_z}{\partial y} \right) \\ \tau_{zx} &= \tau_{xz} = \mu \left(\frac{\partial v_z}{\partial x} + \frac{\partial v_x}{\partial z} \right) \end{aligned} \quad (5-51)$$

برای تنش های عمودی باید توجه داشت که از دو قسمت تشکیل شده اند. یک قسمت مربوط به فشار سیال است که به صورت فشاری^{۳۴} عمل می نماید و قسمت دیگر ناشی از نیروهای ویسکوز سیال است. پس مؤلفه های تنش عمودی به صورت ذیل نوشته می شود. باید توجه داشت در حالتی که سیال غیر تراکمی است، با

استفاده از معادله پیوستگی، $(0 = \vec{\nabla} \cdot \vec{v})$ می باشد.

³²Newtonian

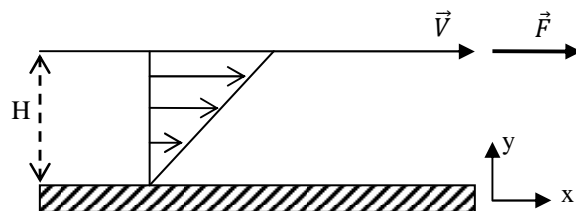
³³Non-Newtonian

³⁴Compression

$$\begin{aligned}\tau_{xx} &= 2\mu \frac{\partial v_x}{\partial x} - \frac{2}{3}\mu \nabla \cdot v \\ \tau_{yy} &= 2\mu \frac{\partial v_y}{\partial y} - \frac{2}{3}\mu \nabla \cdot v \\ \tau_{zz} &= 2\mu \frac{\partial v_z}{\partial z} - \frac{2}{3}\mu \nabla \cdot v\end{aligned}\quad (5-52)$$

بنابراین ملاحظه می شود که تمام مؤلفه های تنسور تنش ویسکوز بر حسب گرادیان سرعت نوشه می شوند. به طوری که با جاگذاری این تنسور در معادله حرکت (مومنتوم) معادله ناویر- استوکس به دست می آید. در بخش بعدی به دست آوردن معادله ناویر- استوکس توضیح داده خواهد شد.

در اینجا برای روشن شدن و فهم تنش های ویسکوز و معادله ساختاری جریان ساده برشی³⁵ را به عنوان مثال ارائه می دهیم.



شکل ۷-۵: جریان ساده برشی ناشی از صفحه متحرک در جهت x

مطابق شکل در این جریان حرکت صفحه متحرک در جهت x خواهد بود. و نیز تنسور تنش ویسکوز به صورت ذیل نوشه می شود:

$$\tau_{ij} = \begin{pmatrix} 0 & \tau_{yx} & 0 \\ \tau_{xy} & 0 & 0 \\ 0 & 0 & 0 \end{pmatrix} \quad (5-53)$$

باید توجه داشت چون $\tau_{yx} = \tau_{xy}$ می باشد، جای آنها را می توان جا بجا نمود همان گونه که در نمایش تانسور ها در این فصل انجام گردید. از طرفی تنسور نرخ کرنش به صورت ذیل نوشه می شود:

³⁵Simple Shear Flow

$$\Delta_{ij} = \begin{pmatrix} 0 & \frac{\partial v_x}{\partial y} & 0 \\ \frac{\partial v_y}{\partial x} & 0 & 0 \\ 0 & 0 & 0 \end{pmatrix} \quad (5-54)$$

در اینجا $v = v_x = v_z = 0$ و $v_y = v_z = 0$ می‌باشد. همان‌گونه که در فصل اول اشاره شد، نرخ کرنش را می‌توان به صورت

ذیل نوشت:

$$\dot{\gamma} = \frac{dv_x}{dy} = \frac{V}{H} \quad (5-55)$$

پس معادله ساختاری سیال نیوتینی به صورت ذیل با استفاده از معادله (5-51) نوشته می‌شود.

$$\tau_{yx} = \tau_{xy} = \tau = \mu \dot{\gamma} \quad (5-56)$$

که در اینجا $\frac{\partial v_y}{\partial x} = 0$ خواهد بود.

۶. معادله ناویر-استوکس^{۳۶}

در این قسمت با استفاده از قانون ساختاری سیالات نیوتینی و نیز با فرض غیر قابل تراکم بودن سیال می‌توان معادلات

حرکت سیال را به دست آورد. پس با جاگذاری معادله (5-36) در معادله (5-50) می‌توان معادله حرکت سیالات نیوتینی

غیر قابل تراکم را به صورت ذیل به دست آورد:

$$\rho \frac{Dv_i}{Dt} = -\rho g \frac{\partial h}{\partial x_i} - \frac{\partial P}{\partial x_i} + \underbrace{\frac{\partial}{\partial x_j} \left[\mu \left(\frac{\partial v_i}{\partial x_j} + \frac{\partial v_j}{\partial x_i} \right) \right]}_{\text{عبارت ویسکوز}} \quad (5-57)$$

که با مشتق گیری عبارت‌های ویسکوز به صورت ذیل جابجا و ساده می‌شوند:

$$\mu \left[\frac{\partial^2 v_i}{\partial x_j^2} + \underbrace{\frac{\partial^2 v_j}{\partial x_j \partial x_i}}_{\frac{\partial}{\partial x_i} \left(\frac{\partial v_j}{\partial x_i} \right)} \right]$$

بر اساس معادله پیوستگی، این ترم صفر است

³⁶Navier-Stokes Equation

پس با جای گذاری عبارت بالا در معادله (۵-۵۷) خواهیم داشت:

$$\rho \frac{Dv_i}{Dt} = -\rho g \frac{\partial h}{\partial x_i} - \frac{\partial P}{\partial x_i} + \mu \frac{\partial^2 v_i}{\partial x_j^2} \quad (5-58)$$

شکل برداری معادله (۵-۵۸) به صورت ذیل می باشد:

$$\rho \frac{D\vec{v}}{Dt} = -\rho g \nabla h - \nabla P + \mu \nabla^2 \vec{v} \quad (5-59)$$

به معادلات (۵-۵۸) و (۵-۵۹) معادله ناویر- استوکس اطلاق می گردد. هم اکنون اگر معادله (۵-۵۸) را برای سه مؤلفه

سرعت نوشته و آن را باز نماییم، خواهیم داشت:

$$\begin{aligned} \rho \frac{Dv_x}{Dt} &= -\rho g \frac{\partial h}{\partial x} - \frac{\partial P}{\partial x} + \mu \left(\frac{\partial^2 v_x}{\partial x^2} + \frac{\partial^2 v_x}{\partial y^2} + \frac{\partial^2 v_x}{\partial z^2} \right) \\ \rho \frac{Dv_y}{Dt} &= -\rho g \frac{\partial h}{\partial y} - \frac{\partial P}{\partial y} + \mu \left(\frac{\partial^2 v_y}{\partial x^2} + \frac{\partial^2 v_y}{\partial y^2} + \frac{\partial^2 v_y}{\partial z^2} \right) \\ \rho \frac{Dv_z}{Dt} &= -\rho g \frac{\partial h}{\partial z} - \frac{\partial P}{\partial z} + \mu \left(\frac{\partial^2 v_z}{\partial x^2} + \frac{\partial^2 v_z}{\partial y^2} + \frac{\partial^2 v_z}{\partial z^2} \right) \end{aligned} \quad (5-60)$$

با بررسی معادلات ناویر- استوکس مشخص می شود که تعداد مجھولات چهار بوده و به صورت $v_x(t, x, y, z)$ ،

$v_y(t, x, y, z)$ و $v_z(t, x, y, z)$ می باشند. بنابراین با منظور کردن معادله پیوستگی ملاحظه می گردد که

تعداد کل معادلات نیز چهار می باشد. پس اکنون می توان با استفاده از حساب دیفرانسیل معادلات مذکور را حل نمود و

توابع میدانی سرعت و فشار را محاسبه نمود. در فصل بعد چگونگی حل معادلات مورد بررسی قرار خواهد گرفت.

همانند معادله پیوستگی، معادلات ناویر- استوکس نیز در سه دستگاه مختصات دکارتی، استوانه‌ای و کروی ارائه شده‌اند.

بنابراین با استفاده از تبدیل متغیرها (که در فصل سوم بیان شد) می توان معادلات مذکور را در هر سه سیستم دکارتی،

استوانه‌ای و کروی به صورت جداول ذیل نوشت:

جدول ۱-۵: معادلات ناویر-استوکس در مختصات دکارتی

$$\rho \left(\frac{\partial v_x}{\partial t} + v_x \frac{\partial v_x}{\partial x} + v_y \frac{\partial v_x}{\partial y} + v_z \frac{\partial v_x}{\partial z} \right) = - \frac{\partial P}{\partial x} - \rho g \frac{\partial h}{\partial x} + \mu \left(\frac{\partial^2 v_x}{\partial x^2} + \frac{\partial^2 v_x}{\partial y^2} + \frac{\partial^2 v_x}{\partial z^2} \right)$$

$$\rho \left(\frac{\partial v_y}{\partial t} + v_x \frac{\partial v_y}{\partial x} + v_y \frac{\partial v_y}{\partial y} + v_z \frac{\partial v_y}{\partial z} \right) = - \frac{\partial P}{\partial y} - \rho g \frac{\partial h}{\partial y} + \mu \left(\frac{\partial^2 v_y}{\partial x^2} + \frac{\partial^2 v_y}{\partial y^2} + \frac{\partial^2 v_y}{\partial z^2} \right)$$

$$\rho \left(\frac{\partial v_z}{\partial t} + v_x \frac{\partial v_z}{\partial x} + v_y \frac{\partial v_z}{\partial y} + v_z \frac{\partial v_z}{\partial z} \right) = - \frac{\partial P}{\partial z} - \rho g \frac{\partial h}{\partial z} + \mu \left(\frac{\partial^2 v_z}{\partial x^2} + \frac{\partial^2 v_z}{\partial y^2} + \frac{\partial^2 v_z}{\partial z^2} \right)$$

جدول ۲-۵: مؤلفه های تنش ویسکوز در مختصات استوانه ای

جدول ۳-۵: مؤلفه های تنش ویسکوز در مختصات کروی

$$\tau_{r\theta} = \tau_{\theta r} = \mu \left(r \frac{\partial}{\partial r} \left(\frac{v_\theta}{r} \right) + \frac{1}{r} \frac{\partial v_r}{\partial \theta} \right)$$

$$\tau_{\theta\varphi} = \tau_{\varphi\theta} = \mu \left(\frac{\sin \theta}{r} \frac{\partial}{\partial \theta} \left(\frac{v_\varphi}{\sin \theta} \right) + \frac{1}{r \sin \theta} \frac{\partial v_\theta}{\partial \varphi} \right)$$

$$\tau_{\varphi r} = \tau_{r\varphi} = \mu \left(\frac{1}{r \sin \theta} \frac{\partial v_r}{\partial \varphi} + r \frac{\partial}{\partial r} \left(\frac{v_\varphi}{r} \right) \right)$$

$$\sigma_{rr} = -P + 2\mu \frac{\partial v_r}{\partial r} - \frac{2}{3} \mu \nabla \cdot \vec{v}$$

$$\tau_{r\theta} = \tau_{\theta r} = \mu \left(r \frac{\partial}{\partial r} \left(\frac{v_\theta}{r} \right) + \frac{1}{r} \frac{\partial v_r}{\partial \theta} \right)$$

$$\tau_{\theta z} = \tau_{z\theta} = \mu \left(\frac{\partial v_\theta}{\partial z} + \frac{1}{r} \frac{\partial v_z}{\partial \theta} \right)$$

$$\tau_{rz} = \tau_{zr} = \mu \left(\frac{\partial v_z}{\partial r} + \frac{\partial v_r}{\partial z} \right)$$

$$\sigma_{rr} = -P + 2\mu \frac{\partial v_r}{\partial r} - \frac{2}{3} \mu \nabla \cdot \vec{v}$$

$$\sigma_{\theta\theta} = -P + 2\mu \left(\frac{1}{r} \frac{\partial v_\theta}{\partial \theta} + \frac{v_r}{r} \right) - \frac{2}{3} \mu \nabla \cdot \vec{v}$$

$$\sigma_{zz} = -P + 2\mu \frac{\partial v_z}{\partial z} - \frac{2}{3} \mu \nabla \cdot \vec{v}$$

$$\sigma_{\theta\theta} = -P + 2\mu \left(\frac{1}{r} \frac{\partial v_\theta}{\partial \theta} + \frac{v_r}{r} \right) - \frac{2}{3} \mu \nabla \cdot \vec{v}$$

جدول ۴-۵: معادلات حرکت بر حسب تنسور تنش ویسکوز در دستگاه مختصات استوانه‌ای

$$\rho \left(\frac{\partial v_r}{\partial t} + v_r \frac{\partial v_r}{\partial r} + \frac{v_\theta}{r} \frac{\partial v_r}{\partial \theta} + v_z \frac{\partial v_r}{\partial z} - \frac{v_\theta^2}{r} \right) = - \frac{\partial P}{\partial r} - \left[\frac{1}{r} \frac{\partial(r\tau_{rr})}{\partial r} + \frac{1}{r} \frac{\partial \tau_{r\theta}}{\partial \theta} - \frac{\tau_{\theta\theta}}{r} + \frac{\partial \tau_{rz}}{\partial z} \right] + \rho g_r$$

$$\rho \left(\frac{\partial v_\theta}{\partial t} + v_r \frac{\partial v_\theta}{\partial r} + \frac{v_\theta}{r} \frac{\partial v_\theta}{\partial \theta} + v_z \frac{\partial v_\theta}{\partial z} + \frac{v_r v_\theta}{r} \right)$$

$$= - \frac{1}{r} \frac{\partial P}{\partial \theta} - \left[\frac{1}{r^2} \frac{\partial(r^2 \tau_{r\theta})}{\partial r} + \frac{1}{r} \frac{\partial \tau_{\theta\theta}}{\partial \theta} + \frac{\partial \tau_{\theta z}}{\partial z} + \frac{\tau_{\theta r} - \tau_{r\theta}}{r} \right] + \rho g_\theta$$

$$\rho \left(\frac{\partial v_z}{\partial t} + v_r \frac{\partial v_z}{\partial r} + \frac{v_\theta}{r} \frac{\partial v_z}{\partial \theta} + v_z \frac{\partial v_z}{\partial z} \right) = - \frac{\partial P}{\partial z} - \left[\frac{1}{r} \frac{\partial}{\partial r}(r\tau_{rz}) + \frac{1}{r} \frac{\partial}{\partial \theta} \tau_{\theta z} + \frac{\partial}{\partial z} \tau_{zz} \right] + \rho g_z$$

$$\sigma_{\varphi\varphi} = -P + 2\mu \left(\frac{1}{r \sin \theta} \frac{\partial v_\varphi}{\partial \varphi} + \frac{v_r}{r} + \frac{v_\theta \cot \theta}{r} \right) - \frac{2}{3} \mu \nabla \cdot \vec{v}$$

جدول ۵-۵: معادلات حرکت بر حسب تنسور تنش ویسکوز در دستگاه مختصات کروی

$$\begin{aligned}
 & \rho \left(\frac{\partial v_r}{\partial t} + v_r \frac{\partial v_r}{\partial r} + \frac{v_\theta}{r} \frac{\partial v_r}{\partial \theta} + \frac{v_\varphi}{r \sin \theta} \frac{\partial v_r}{\partial \varphi} - \frac{v_\theta^2 + v_\varphi^2}{r} \right) \\
 &= - \frac{\partial P}{\partial r} - \frac{1}{r^2} \frac{\partial}{\partial r} (r^2 \tau_{rr}) + \frac{1}{r \sin \theta} \frac{\partial (\tau_{\theta r} \sin \theta)}{\partial \theta} + \frac{1}{r \sin \theta} \frac{\partial \tau_{\varphi r}}{\partial \varphi} - \frac{\tau_{\theta \theta} + \tau_{\varphi \varphi}}{r} + \rho g_r \\
 & \quad \rho \left(\frac{\partial v_\theta}{\partial t} + v_r \frac{\partial v_\theta}{\partial r} + \frac{v_\theta}{r} \frac{\partial v_\theta}{\partial \theta} + \frac{v_\varphi}{r \sin \theta} \frac{\partial v_\theta}{\partial \varphi} + \frac{v_r v_\theta}{r} - \frac{v_\varphi^2 \cot \theta}{r} \right) \\
 &= - \frac{1}{r} \frac{\partial P}{\partial \theta} - \frac{1}{r^3} \frac{\partial}{\partial r} (r^3 \tau_{r\theta}) + \frac{1}{r \sin \theta} \frac{\partial}{\partial \theta} (\tau_{\theta \theta} \sin \theta) + \frac{1}{r \sin \theta} \frac{\partial \tau_{\varphi \theta}}{\partial \varphi} + \frac{\tau_{\theta r} - \tau_{r\theta}}{r} \\
 & \quad - \frac{\cot \theta}{r} \tau_{\varphi \varphi} + \rho g_\theta \\
 \\
 & \rho \left(\frac{\partial v_\varphi}{\partial t} + v_r \frac{\partial v_\varphi}{\partial r} + \frac{v_\theta}{r} \frac{\partial v_\varphi}{\partial \theta} + \frac{v_\varphi}{r \sin \theta} \frac{\partial v_\varphi}{\partial \varphi} + \frac{v_\varphi v_r}{r} + \frac{v_\theta v_\varphi \cot \theta}{r} \right) \\
 &= - \frac{1}{r \sin \theta} \frac{\partial P}{\partial \varphi} \\
 & \quad - \left(\frac{1}{r^3} \frac{\partial}{\partial r} (r^3 \tau_{r\varphi}) + \frac{1}{r \sin \theta} \frac{\partial}{\partial \theta} (\tau_{\theta \varphi} \sin \theta) + \frac{1}{r \sin \theta} \frac{\partial}{\partial \varphi} \tau_{\varphi \varphi} + \frac{\tau_{\varphi r} - \tau_{r\varphi}}{r} \right. \\
 & \quad \left. + \frac{\tau_{\theta \varphi} \cot \theta}{r} + \rho g_\varphi \right)
 \end{aligned}$$

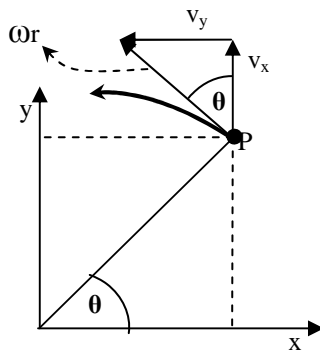
۲. گرداش^{۳۷} و سیال غیر چرخشی^{۳۸}

در بخش قبل توضیح داده شد که تنسور $\underline{\Omega}$ یک تنسور چرخشی است و مؤلفه‌های این تنسور مطابق ماتریس (۴۸.۴)

نشان داده شد. حال به تعریف گرداش و سیال غیر چرخشی می‌پردازیم. گرداش یا چرخشی بودن یک سیال بستگی به

سرعت زاویه‌ای^{۳۹} سیال دارد. مطابق شکل (۵-۱۰) فرض نماییم که المان سیال در نقطه P حول محور Z با سرعت زاویه-

ای ω می‌چرخد.



۵-۱۰: حرکت چرخشی المان سیال در نقطه P حول محور Z

همان گونه که ملاحظه می‌شود، سرعت خطی^{۴۰} مماس بر سرعت زاویه‌ای بوده و مقدار آن $r\omega$ می‌باشد. از طرفی مؤلفه-

های سرعت خطی به صورت v_x و v_y مطابق شکل (۵-۱۰) به صورت ذیل نوشته می‌شوند:

$$v_x = -r\omega \sin \theta = -r\omega \frac{y}{r} = -y\omega \quad (5-61)$$

$$v_y = +r\omega \cos \theta = r\omega \frac{x}{r} = -x\omega$$

با مشتق‌گیری از رابطه‌های (۵-۶۱) می‌توان نوشت:

$$\omega = -\frac{\partial v_x}{\partial y} \quad (5-62)$$

$$\omega = \frac{\partial v_y}{\partial x}$$

پس سرعت زاویه‌ای سیال حول محور Z متوسط روابط (۵-۶۲) خواهد بود و بنابراین خواهیم داشت:

³⁷Vorticity

³⁸Irrotationality

³⁹Angular Velocity

⁴⁰Linear Velocity

$$\omega_z = \frac{1}{2} \left(\frac{\partial v_y}{\partial x} - \frac{\partial v_x}{\partial y} \right) \quad (5-63)$$

به همین ترتیب سرعت زاویه‌ای حول محورهای X و Z نیز به صورت ذیل نوشته می‌شوند:

$$\omega_x = \frac{1}{2} \left(\frac{\partial v_z}{\partial y} - \frac{\partial v_y}{\partial z} \right) \quad (5-64)$$

$$\omega_y = \frac{1}{2} \left(\frac{\partial v_x}{\partial z} - \frac{\partial v_z}{\partial x} \right) \quad (5-65)$$

حال به تعریف گردابش می‌پردازیم. اگر کرل بردار سرعت را به صورت ذیل بنویسیم:

$$\nabla \times \vec{v} = \begin{vmatrix} \vec{e}_1 & \vec{e}_2 & \vec{e}_3 \\ \frac{\partial}{\partial x} & \frac{\partial}{\partial y} & \frac{\partial}{\partial z} \\ v_x & v_y & v_z \end{vmatrix} = \left(\frac{\partial v_z}{\partial y} - \frac{\partial v_y}{\partial z} \right) \vec{e}_1 - \left(\frac{\partial v_z}{\partial x} - \frac{\partial v_x}{\partial z} \right) \vec{e}_2 + \left(\frac{\partial v_y}{\partial x} - \frac{\partial v_x}{\partial y} \right) \vec{e}_3 \quad (5-66)$$

ملاحظه می‌شود که کرل بردار سرعت برداری است که آن را به صورت $\vec{\nabla} \times \vec{v} = \vec{\xi}$ نشان می‌دهیم. همان گونه که در

معادله (5-66) ملاحظه می‌شود، مؤلفه‌های بردار $\vec{\xi}$ دو برابر سرعت‌های زاویه‌ای سیال حول محورهای مختصات می‌باشند.

بردار $\vec{\xi}$ را بردار گردابش⁴¹ می‌گویند. حال اگر گردابش برابر صفر باشد ($\vec{\xi} = 0$)، سیال را غیر چرخشی می‌گویند.

به عبارتی به سیالی غیر چرخشی می‌گویند که کرل بردار سرعت آن صفر باشد. به بیان دیگر در هر سیال غیر چرخشی

سرعت زاویه‌ای یا نرخ چرخش⁴² برابر با صفر خواهد بود. با توجه به معادله (5-66) مؤلفه‌های بردار گردابش به صورت

ذیل نوشته می‌شوند:

$$\begin{aligned} \xi_x &= \frac{\partial v_z}{\partial y} - \frac{\partial v_y}{\partial z} \\ \xi_y &= \frac{\partial v_x}{\partial z} - \frac{\partial v_z}{\partial x} \\ \xi_z &= \frac{\partial v_y}{\partial x} - \frac{\partial v_x}{\partial y} \end{aligned} \quad (5-67)$$

روابط (5-67) مؤلفه‌های تنسور چرخشی $\underline{\Omega}$ می‌باشند.

⁴¹Vorticity Vector

⁴²Rate of Rotation

۸. خلاصه(جمع بندی)

شار مومنتوم حاصل ضرب دیدیک دو بردار سرعت بوده و یک کمیت تنسوری می‌باشد. نیروهای جرمی از دو نوع نیروهای گرانشی و نیروهای مغناطیسی تشکیل شده است. طبق قوانین حرکت دینامیک نیروی گرانش بر واحد حجم از طریق گرادیان انرژی پتانسیلی به دست می‌آید. در بسیاری از موقع در حرکت سیال از نیروهای مغناطیسی صرف نظر می‌شود. اثرات نیروهای سطحی بر سطوح سیال یا مرزهای جامد به صورت تنش‌های برشی و عمودی نشان داده می‌شوند. مجموعه مؤلفه‌های نیروهای سطحی بر حسب نه مؤلفه تنش به دست می‌آیند که آرایه حاصل از آن را تنسور تنش گویند. تمام مؤلفه‌های تنسور تنش ویسکوز بر حسب گرادیان سرعت می‌تواند بیان شود. تنها نیروی حاکم بر سیال در حالت سکون نیروهای ناشی از فشار استاتیکی سیال می‌باشد. گردابش یا چرخشی بودن یک سیال بستگی به سرعت زاویه‌ای^{۴۳} سیال دارد. به سیالی غیر چرخشی می‌گویند که کرل بردار سرعت آن صفر باشد.

⁴³Angular Velocity